

УДК 621.3(0758)

© 2010

Член-корреспондент НАН України **А. Е. Божко**

Об определении колебаний якоря электромагнитного виброударного возбудителя при входных периодических полусинусоидальных импульсах

Визначаються коливання якоря електромагнітного віброударного збуджувача при дії на ході імпульсів, що подаються у вигляді Фур'є-комбінованого сингулярного розкладання.

Электромагнитные виброударные возбудители (ЭМВУВ) широко используются в промышленности в технологических процессах, конвейерах, вибрационных испытательных стендах и т. д. [1, 2]. При воспроизведении ЭМВУВ ударов на его вход могут подаваться периодические полусинусоидальные импульсы вида, изображенного на рис. 1, где U_a — амплитуда импульса; ω — круговая частота; t — время; угловой период следования импульсов 2π .

Известно [3, 4], что такие импульсы могут быть разложены в ряд Фурье

$$f(\omega t) = \frac{2U_a}{\pi} \left(\frac{1}{2} + \frac{\pi}{4} \cos \omega t + \frac{1}{1 \cdot 3} \cos 2\omega t - \frac{1}{3 \cdot 5} \cos 4\omega t + \frac{1}{5 \cdot 7} \cos 6\omega t - \dots \right). \quad (1)$$

Из-за малых значений составляющих $\frac{2U_a}{\pi \cdot 3 \cdot 5} \cos 4\omega t$, $\frac{2U_a}{\pi \cdot 5 \cdot 7} \cos 6\omega t$ по сравнению с предыдущими составляющими в (1) будем проводить исследование

$$f(\omega t) = \frac{2U_a}{\pi} \left(\frac{1}{2} + \frac{\pi}{4} \cos \omega t + \frac{1}{1 \cdot 3} \cos 2\omega t \right). \quad (2)$$

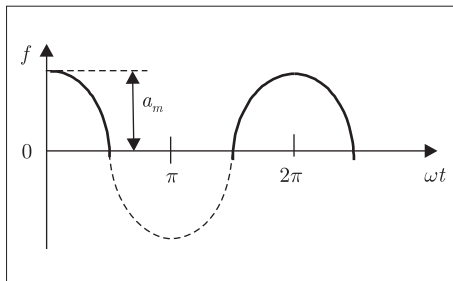


Рис. 1

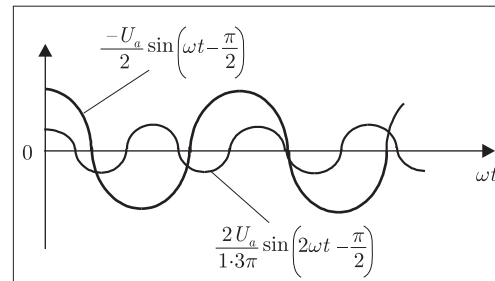


Рис. 2

Применяя формулу [1] $\cos x = \sin(\pi/2 - x)$, представим (2) в виде

$$f(\omega t) = \frac{2U_a}{\pi} \left[\frac{1}{2} - \frac{\pi}{4} \sin\left(\omega t - \frac{\pi}{2}\right) - \frac{1}{1 \cdot 3} \sin\left(2\omega t - \frac{\pi}{2}\right) \right]. \quad (3)$$

Как видно из (3), входной в ЭМВУВ полусинусоидальный периодический сигнал имеет скачкообразную постоянную составляющую $f_0 = U_a/\pi$ и синусоидальные составляющие

$$-\frac{U_a}{\pi} \sin\left(\omega t - \frac{\pi}{2}\right), \quad \frac{2U_a}{1 \cdot 3\pi} \sin\left(2\omega t - \frac{\pi}{2}\right),$$

сдвинутые от $\omega t = 0$ на угол $-\pi/2$. Эти составляющие изображены на рис. 2.

В работах [3, 4] представлено два вида сингулярного разложения скачкообразной функции $U_a 1(t) = \begin{cases} 1 & \text{при } t \geq 0 \\ 0 & \text{при } t < 0 \end{cases}$ и функции $U_a \sin(\omega t + \varphi)$, имеющей скачок в виде $U_a 1(t) \sin \varphi$ при $t = 0$. Эти разложения имеют соответственно вид

$$U_a 1(t) = U_a \left(1 - e^{-\alpha t} + e^{-\alpha t} \sum_{k=1}^n U_{ak} \cos \omega_k t \right), \quad (4)$$

где α — коэффициент затухания; $U_{a1} = 1/\pi$, $U_{ak} = U_{a1}/k$, $k = \omega_k/\omega_1$, $n \approx 12$,

$$U_a \sin(\omega t + \varphi) = U_a (1 - e^{-\alpha t}) \sin(\omega t + \varphi) + U_a e^{-\alpha t} \sin \varphi \sum_{k=1}^n U_{ak} \cos \omega_k t. \quad (5)$$

Здесь α значительно больше коэффициента затухания электроцепи, на которую подается сигнал в виде (4) или (5).

В нашем исследовании входной сигнал в ЭМВУВ описывается выражением (3). График переменных составляющих этого сигнала изображен на рис. 2, откуда видно, что

$$-\frac{U_a}{\pi} \sin\left(\omega t - \frac{\pi}{2}\right) = \frac{U_a}{\pi} \sin\left(\omega t + \frac{\pi}{2}\right), \quad -\frac{2U_a}{1 \cdot 3\pi} \sin\left(2\omega t - \frac{\pi}{2}\right) = \frac{2U_a}{1 \cdot 3\pi} \sin\left(2\omega t + \frac{\pi}{2}\right).$$

С учетом этих выражений

$$f(\omega t) = \frac{U_a}{\pi} + \frac{U_a}{2} \sin\left(\omega t + \frac{\pi}{2}\right) + \frac{2U_a}{1 \cdot 3\pi} \sin\left(2\omega t + \frac{\pi}{2}\right). \quad (6)$$

Сигнал (6) имеет скачкообразную постоянную составляющую $f_0 = U_a/\pi$ и скачкообразные при $t = 0$ синусоидальные составляющие

$$\frac{U_a}{\pi} \sin\left(\omega t + \frac{\pi}{2}\right), \quad \frac{2U_a}{1 \cdot 3\pi} \sin\left(2\omega t + \frac{\pi}{2}\right).$$

К этим составляющим применимы сингулярные разложения (4) и (5), соответственно. С учетом (4) и (5) выражение (6) запишем в виде

$$\begin{aligned} f(\omega t) &= \frac{U_a}{\pi} \left(1 - e^{-\alpha t} + e^{-\alpha t} \sum_{k=1}^n U_{ak} \cos \omega_k t \right) + \\ &+ \frac{U_a}{2} \left[(1 - e^{-\alpha t}) \sin\left(\omega t + \frac{\pi}{2}\right) + e^{-\alpha t} \sin \frac{\pi}{2} \sum_{k=1}^n U_{ak} \cos \omega_k t \right] + \\ &+ \frac{2U_a}{1 \cdot 3\pi} \left[(1 - e^{-\alpha t}) \sin\left(2\omega t + \frac{\pi}{2}\right) + e^{-\alpha t} \sin \frac{\pi}{2} \sum_{k=1}^n U_{ak} \cos \omega_k t \right]. \end{aligned} \quad (7)$$

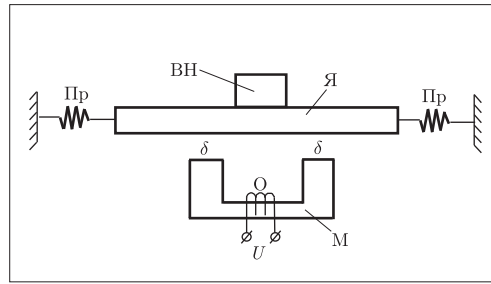


Рис. 3

Как видно из (7), к Фурье-разложению (2) применены сингулярные разложения (4) и (5). Выражение (7) представляет собой конкретное для периодических полусинусоидальных сигналов Фурье-комбинированное сингулярное разложение. Общая математическая запись Фурье-комбинированного сингулярного разложения периодических несинусоидальных функций было представлено в ранее опубликованной статье автора. Итак, на вход ЭМВУВ подается напряжение в виде (7). Для исследования колебаний подвижной системы (якоря) ЭМВУВ необходимо проанализировать весь тракт прохождения сигнала в ЭМВУВ. Для этого представим на рис. 3 электромагнитомеханическую схему ЭМВУВ, где М — магнитопровод; Я + ВН — якорь с весовой нагрузкой; О — электрическая обмотка; Пр — пружины; U — входное напряжение; δ — воздушный зазор.

Из этого рисунка видно, что ЭМВУВ в соответствии с природой физических процессов состоит из электрической части (электрическая обмотка), магнитной части (магнитопровод, воздушный зазор, якорь), механической части (якорь, пружины), что требует исследования ЭМВУВ по частям.

В электрической части ЭМВУВ напряжение $U(t)$, описываемое в данном случае выражением (7), подается на зажимы обмотки. Под действием $U(t)$ по обмотке идет электрический ток $i(t)$, который определяется из дифференциального уравнения

$$U(t) = Ri(t) + L \frac{di(t)}{dt}, \quad (8)$$

где R , L — резистор и индуктивность обмотки, соответственно.

Учитывая (7), уравнение (8) запишем в виде

$$\begin{aligned} & \frac{U_a}{\pi} \left(1 - e^{-\alpha t} + e^{-\alpha t} \sum_{k=1}^n U_{ak} \cos \omega_k t \right) + \\ & + \frac{U_a}{2} \left[(1 - e^{-\alpha t}) \sin \left(\omega t + \frac{\pi}{2} \right) + e^{-\alpha t} \sin \frac{\pi}{2} \sum_{k=1}^n U_{ak} \cos \omega_k t \right] + \\ & + \frac{2U_a}{1 \cdot 3\pi} \left[(1 - e^{-\alpha t}) \sin \left(2\omega t + \frac{\pi}{2} \right) + e^{-\alpha t} \sin \frac{\pi}{2} \sum_{k=1}^n U_{ak} \cos \omega_k t \right] = Ri(t) + L \frac{di(t)}{dt}. \quad (9) \end{aligned}$$

Заметим, что электрическая цепь обмотки является линейной, поэтому здесь при нахождении $i(t)$ применим принцип суперпозиции. Ток $i(t)$ будем определять операционным методом, используя изображения Карсона [5]. Сгруппируем левую часть уравнения (9) так,

чтобы удобно было пользоваться таблицей оригиналов и изображений, приведенной в работе [5]. Тогда (9) примет вид

$$\begin{aligned} & \frac{U_a}{\pi}(1 - e^{-\alpha t}) + e^{-\alpha t}U_a \left(\frac{1}{\pi} + \frac{1}{2} + \frac{2}{1 \cdot 3\pi} \right) \sum_{k=1}^n U_{ak} \cos \omega_k t + \frac{U_a}{2} \sin \left(\omega t + \frac{\pi}{2} \right) + \\ & + \frac{2U_a}{1 \cdot 3\pi} \sin \left(2\omega t + \frac{\pi}{2} \right) - \frac{U_a}{2} e^{-\alpha t} \sin \left(\omega t + \frac{\pi}{2} \right) - \frac{2U_a}{1 \cdot 3\pi} e^{-\alpha t} \sin \left(2\omega t + \frac{\pi}{2} \right) = \\ & = Ri(t) + L \frac{di(t)}{dt}. \end{aligned} \quad (10)$$

Каждая составляющая напряжения из (10) создает свой ток $i_l(t)$, $l = \overline{1,7}$, в обмотке. Алгебраическая сумма $\sum_{l=1}^7 i_l = i$, т.е. равна общему току в этой обмотке.

Для представления (10) в изображениях Карсона необходимо в (10) осуществить тригонометрические преобразования вида

$$\begin{aligned} \sin \left(\omega t + \frac{\pi}{2} \right) &= \sin \omega t \cos \frac{\pi}{2} + \cos \omega t \sin \frac{\pi}{2} = \cos \omega t, \\ \sin \left(2\omega t + \frac{\pi}{2} \right) &= \sin 2\omega t \cos \frac{\pi}{2} + \cos 2\omega t \sin \frac{\pi}{2} = \cos 2\omega t. \end{aligned}$$

Тогда (10) с учетом того, что $\frac{1}{\pi} + \frac{1}{2} + \frac{2}{1 \cdot 3\pi} \approx 1,1$, запишем в виде

$$\begin{aligned} & \frac{U_a}{\pi}(1 - e^{-\alpha t}) + 1,1U_a e^{-\alpha t} \sum_{k=1}^n U_{ak} \cos \omega_k t + \frac{U_a}{2} \cos \omega t + \frac{2U_a}{1 \cdot 3\pi} \cos 2\omega t - \\ & - \frac{U_a}{2} e^{-\alpha t} \cos \omega t - \frac{2U_a}{1 \cdot 3\pi} e^{-\alpha t} \cos 2\omega t = Ri(t) + L \frac{di(t)}{dt}. \end{aligned} \quad (11)$$

Изображение Карсона, соответствующее оригиналу (11), следующее:

$$\begin{aligned} & \frac{U_a}{\pi} \frac{\alpha}{p+\alpha} + \frac{U_a}{2} \frac{p^2}{p^2+\omega^2} + \frac{2U_a}{3\pi} \frac{p^2}{p^2+4\omega^2} - \frac{U_a}{2} \frac{p(p+\alpha)}{(p+\alpha)^2+\omega_k^2} - \frac{2U_a}{1 \cdot 3\pi} \frac{p(p+\alpha)}{(p+\alpha)^2+\omega^2} - \\ & - \frac{2U_a}{1 \cdot 3\pi} \frac{p(p+\alpha)}{(p+\alpha)^2+4\omega^2} + 1,1U_a \sum_{k=1}^n U_{ak} \frac{p(p+\alpha)}{(p+\alpha)^2+\omega_k^2} = \left(p + \frac{R}{L} \right) I(p)L, \end{aligned} \quad (12)$$

где $I(p)$ — изображение тока $i(t)$; $R/L = \delta$ — коэффициент затухания электроцепи обмотки.

Из (12) изображение тока $i(t)$ имеет вид

$$\begin{aligned} I(p) &= \frac{1}{L(p+\delta)} \left[\frac{U_a}{\pi} \frac{\alpha}{p+\alpha} + \frac{U_a}{2} \frac{p^2}{p^2+\omega^2} + \frac{2U_a}{3\pi} \frac{p^2}{p^2+4\omega^2} - \frac{U_a}{2} \frac{p(p+\alpha)}{(p+\alpha)^2+\omega^2} - \right. \\ & \left. - \frac{2U_a}{3\pi} \frac{p(p+\alpha)}{(p+\alpha)^2+4\omega^2} + 1,1U_a \sum_{k=1}^n U_{ak} \frac{p(p+\alpha)}{(p+\alpha)^2+\omega_k^2} \right]. \end{aligned} \quad (13)$$

С использованием таблиц [5] получим соответственно (13) следующий оригинал тока $i(t)$:

$$\begin{aligned}
 i(t) = & \frac{U_a \alpha}{L} \left[\frac{1}{\alpha \delta} + \frac{1}{\alpha - \delta} \left(\frac{1}{\alpha} e^{-\alpha t} - \frac{1}{\delta} e^{-\delta t} \right) \right] + \frac{U_a}{2L} \frac{1}{\delta^2 + \omega^2} (-\delta e^{-\delta t} + \delta \cos \omega t + \omega \sin \omega t) + \\
 & + \frac{2U_a}{3\pi L} \frac{1}{\delta^2 + 4\omega^2} (-\delta e^{-\delta t} + \delta \cos 2\omega t + 2\omega \sin 2\omega t) - \\
 & - \frac{U_a}{2L} \frac{1}{(\alpha - \delta)^2 + \omega^2} \left\{ -\delta e^{-\delta t} + \frac{e^{-\alpha t}}{\omega} [\omega \delta \cos \omega t + (\omega^2 + \alpha^2 - \alpha \delta) \sin \omega t] \right\} - \\
 & - \frac{U_a \alpha}{2L} \frac{1}{(\alpha - \delta)^2 + \omega^2} \left\{ -\delta e^{-\delta t} + \frac{e^{-\alpha t}}{\omega} [-\omega \cos \omega t - (\alpha - \delta) \sin \omega t] \right\} - \\
 & - \frac{2U_a}{3\pi L} \frac{1}{(\alpha - \delta)^2 + 4\omega^2} \left\{ -\delta e^{-\delta t} + \frac{e^{-\alpha t}}{\omega} [2\omega \delta \cos 2\omega t + (4\omega^2 + \alpha^2 - \alpha \delta) \sin 2\omega t] \right\} - \\
 & - \frac{2U_a \alpha}{3\pi L} \frac{1}{(\alpha - \delta)^2 + 4\omega^2} \left\{ e^{-\delta t} + \frac{e^{-\alpha t}}{2\omega} [-2\omega \cos 2\omega t - (\alpha - \delta) \sin 2\omega t] \right\} + \\
 & + \frac{1,1U_a}{L} \sum_{k=1}^n U_{ak} \frac{1}{(\alpha - \delta)^2 + \omega_k^2} \left\{ -\delta e^{-\delta t} + \frac{e^{-\alpha t}}{\omega_k} [\omega_k \delta \cos \omega_k t + (\omega_k^2 + \alpha^2 - \alpha \delta) \sin \omega_k t] \right\} + \\
 & + \frac{1,1U_a}{L} \sum_{k=1}^n U_{ak} \alpha \frac{1}{(\alpha - \delta)^2 + \omega_k^2} \left\{ e^{-\delta t} + \frac{e^{-\alpha t}}{\omega_k} [-\omega_k \cos \omega_k t - (\alpha - \delta) \sin \omega_k t] \right\}. \quad (14)
 \end{aligned}$$

После группировки подобных членов выражение (14) будет следующим:

$$\begin{aligned}
 i(t) = & A + B e^{-\delta t} + C e^{-\alpha t} + d \cos \omega t + e \sin \omega t + g \cos 2\omega t + z \sin 2\omega t + \\
 & + \varepsilon e^{-\alpha t} \cos \omega t + \xi e^{-\alpha t} \sin \omega t + \gamma e^{-\alpha t} \cos 2\omega t + j e^{-\alpha t} \sin 2\omega t + \\
 & + e^{-\alpha t} q \sum_{k=1}^n U_{ak} (\eta_k \cos \omega_k t + \beta_k \sin \omega_k t), \quad (15)
 \end{aligned}$$

где коэффициенты $A, B, C, d, e, g, z, \varepsilon, \xi, \gamma, j, q, \eta_k, \beta_k$ представляют собой суммы при однородных членах в (14).

Как видно из (15), ток $i(t)$ в обмотке ЭМВУВ включает в себя постоянную составляющую A , установившиеся гармоники $d \cos \omega t, e \sin \omega t, g \cos 2\omega t, z \sin 2\omega t$, затухающие экспоненты $B e^{-\delta t}, C e^{-\alpha t}$, затухающие гармоники $\varepsilon e^{-\alpha t} \cos \omega t, \xi e^{-\alpha t} \sin \omega t, \gamma e^{-\alpha t} \cos 2\omega t, j e^{-\alpha t} \sin 2\omega t, q e^{-\alpha t} \sum_{k=1}^n \eta_k \cos \omega_k t, q e^{-\alpha t} \sum_{k=1}^n U_{ak} \beta_k \cos \omega_k t$. Так как коэффициент затухания $\alpha \gg \delta$, то после интервала времени $\Delta t = 4,6(1/\alpha)$ переходный процесс тока $i(t)$ определяется выражением

$$i(t) = A + B e^{-\delta t} + d \cos \omega t + e \sin \omega t + g \cos 2\omega t + z \sin 2\omega t. \quad (16)$$

При $\alpha = \infty \Delta t = 0$ и ток $i(t) = (16)$.

Далее рассмотрим в ЭМВУВ магнитную часть, которая создает тяговое усилие F якоря. Это тяговое усилие создается наведенным в магнитопроводе и якоре от тока $i(t)$ магнитным

потоком Φ , который обуславливает притяжение к полюсам М якоря. Тяговое усилие определяется выражением [6]

$$F = \frac{\Phi^2}{\mu_0 S}. \quad (17)$$

Используя закон полного тока [7] $i w G = \Phi$, выражение (17) представим так:

$$F = \mu_0 S \left(\frac{i w}{2\delta} \right)^2. \quad (18)$$

Так как механическая часть ЭМВУВ более инерционна, чем электрическая и магнитные части, то при $\alpha \gg b_k/(2m)$, где b_k — коэффициент диссипации в колебаниях якоря; m — масса якоря, будем в (18) учитывать для $i(t)$ выражение (16). В этом случае

$$\begin{aligned} F(t) &= \frac{\mu_0 S w^2}{4\delta^2} (A + B e^{-\delta t} + d \cos \omega t + c \sin \omega t + g \cos 2\omega t + z \sin 2\omega t)^2 = \\ &= \frac{\mu_0 S w^2}{4\delta^2} [A^2 + B^2 e^{-2\delta t} + d^2 \cos^2 \omega t + c^2 \sin^2 \omega t + g^2 \cos^2 2\omega t + z^2 \sin^2 2\omega t + \\ &\quad + 2A(B e^{-\delta t} + d \cos \omega t + c \sin \omega t + g \cos 2\omega t + z \sin 2\omega t) + \\ &\quad + 2B e^{-\delta t} (d \cos \omega t + c \sin \omega t + g \cos 2\omega t + z \sin 2\omega t) + \\ &\quad + 2d \cos \omega t (c \sin \omega t + g \cos 2\omega t + z \sin 2\omega t) \\ &\quad + 2c \sin \omega t (g \cos 2\omega t + z \sin 2\omega t) + 2gz \cos 2\omega t \sin 2\omega t]. \end{aligned} \quad (19)$$

В (19) используем тригонометрические преобразования

$$\begin{aligned} d^2 \cos^2 \omega t &= \frac{1}{2} d^2 (1 + \cos 2\omega t), & e^2 \sin^2 \omega t &= \frac{1}{2} e^2 (1 - \cos 2\omega t), \\ g^2 \cos^2 2\omega t &= \frac{1}{2} g^2 (1 + \cos 4\omega t), & z^2 \sin^2 2\omega t &= \frac{1}{2} z^2 (1 - \cos 4\omega t), \\ 2de \cos \omega t \sin \omega t &= de \sin 2\omega t, & 2dg \cos \omega t \cos 2\omega t &= dg (\cos \omega t + \cos 3\omega t), \\ 2dz \cos \omega t \sin 2\omega t &= dz (\sin \omega t + \sin 3\omega t), & 2eg \sin \omega t + \cos 2\omega t &= eg (-\sin \omega t + \sin 3\omega t), \\ 2ez \sin \omega t \sin 2\omega t &= ez (\cos \omega t - \cos 3\omega t), & 2gz \cos 2\omega t \sin 2\omega t &= gz \sin 4\omega t. \end{aligned}$$

С учетом представленных преобразований (19) имеет вид

$$\begin{aligned} F(t) &= \mu_0 S \left(\frac{w}{2\delta} \right)^2 \left[A_\Sigma + 2AB e^{-\delta t} + B^2 e^{-2\delta t} + \right. \\ &\quad + 2B e^{-\delta t} (d \cos \omega t + e \sin \omega t + g \cos 2\omega t + z \sin 2\omega t) + \\ &\quad + \frac{1}{2} (\cos 2\omega t) (d^2 - e^2) + de \sin 2\omega t + (\cos \omega t) (dg + ez) + (\sin \omega t) (dz - eg) + \\ &\quad \left. (\cos 3\omega t) (dg - ez) + (\sin 3\omega t) (dz + eg) + gz \sin 4\omega t \right], \end{aligned} \quad (20)$$

где $A_\Sigma = A^2 + (d^2 + e^2 + g^2 + z^2)/2$.

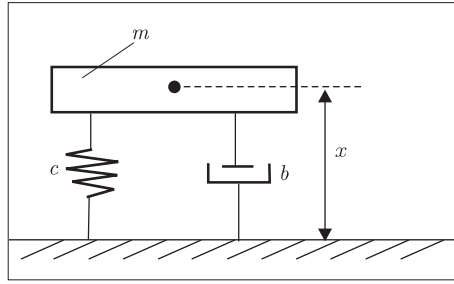


Рис. 4

Из (20) видно, что тяговое усилие $F(t)$ состоит из постоянной составляющей QA_{Σ} , затухающих экспонент $Q2ABe^{-\delta t}$, $QB^2e^{-2\delta t}$, затухающей полигармоники $Q2ABe^{-\delta t}(d \cos \omega t + e \sin \omega t + g \cos 2\omega t + z \sin 2\omega t)$ и установившихся гармоник $Q\frac{1}{2}(d^2 - e^2) \cos 2\omega t$, $Qde \sin 2\omega t$, $(dg + ez) \cos \omega t$, $Q(dz - eg) \sin \omega t$, $Q(dg - ez) \cos 3\omega t$, $Q(dz + eg) \sin 3\omega t$, $Qgz \sin 4\omega t$, где

$$Q = \mu_0 S \left(\frac{w}{2\delta} \right)^2.$$

Данное тяговое усилие (20) действует на якорь и вызывает его движение. Механическая схема подвижной части ЭМВУВ является колебательной системой (КС), изображенной на рис. 4, где m — масса Я + весовая нагрузка; c , b — коэффициенты жесткости и диссипации соответственно; x — перемещение.

Дифференциальное уравнение КС следующее:

$$m \frac{d^2 x_{\text{я}}}{dt^2} + b \frac{dx_{\text{я}}}{dt} + cx = F(t). \quad (21)$$

Из (21) видно, что постоянная составляющая в виде QA_{Σ} вызывает в КС постоянное смещение $x_0 = QA_{\Sigma}/c$, которое совместно с общей амплитудой переменного перемещения $x_{a\Sigma}$ должно удовлетворять условию $\delta_0 > x_0 + x_{a\Sigma}$, где δ_0 — начальный воздушный зазор между Я и М. Данная КС является линейной, поэтому к ней применим принцип суперпозиции. Установившиеся колебания КС имеют вид [8]

$$\begin{aligned} x_1(t) &= x_{a1} \cos(\omega t - \varphi_1), & x_2(t) &= x_{a2} \sin(\omega t - \varphi_1), & x_3(t) &= x_{a3} \cos(2\omega t - \varphi_2), \\ x_4(t) &= x_{a4} \sin(2\omega t - \varphi_2), & x_5(t) &= x_{a5} \cos(3\omega t - \varphi_3), & x_6(t) &= x_{a6} \cos(3\omega t - \varphi_3), \\ x_7(t) &= x_{a7} \sin(4\omega t - \varphi_4), \end{aligned}$$

где $\varphi_l = \arctg \frac{l\omega b}{(l\omega)^2 - \omega_0^2}$, $l = \overline{1, 4}$; $\omega = \sqrt{\frac{c}{m} - \left(\frac{b}{2m}\right)^2}$ — собственная частота колебаний КС; $x_{ar} = \frac{F_{ar}}{m \sqrt{[(l\omega)^2 - \omega_0^2]^2 + (b\omega/(2m))^2}}$, $r = \overline{1, 7}$; $l = \overline{1, 4}$; F_{ar} — амплитуды соответствующих гармонических составляющих $F(t)$ в (20).

Установившаяся общая гармоника колебаний КС равна $x_{\Sigma}(t) = \sum_{r=1}^7 x_r(t)$. В перемещение якоря еще входят затухающие составляющие с экспонентами в (20) вида $e^{-\delta t}$, $e^{-2\delta t}$.

Эти составляющие обуславливают переходный процесс колебаний КС. Определим его операционным методом с изображениями Карсона [5]. Представим (21) и экспоненциально затухающие составляющие из (20) в следующей операционной форме:

$$x_{\delta}(p) = (mp^2 + bp + c) = Q2AB \frac{p}{p + \delta} + QB^2 \frac{p}{p + 2\delta} + 2BQd \frac{p(p + \delta)}{(p + \delta)^2 + \omega^2} + 2BQe \frac{\omega p}{(p + \delta)^2 + \omega^2} + 2BQg \frac{p(p + \delta)}{(p + \delta)^2 + 4\omega^2} + 2BQz \frac{2\omega p}{(p + \delta)^2 + 4\omega^2}, \quad (22)$$

где $p = d/dt$.

Оригинал $x(t)$, соответствующий (22), будем находить по таблицам, используя метод простых дробей [5]. Для этого (22) разложим на следующие простые дроби:

$$x_{\delta}(p) = \frac{a_1}{m} \left(\frac{\vartheta_1}{p + \delta} + \frac{A_1 p + B_1}{p^2 + \frac{b}{m} p + \frac{c}{m}} \right) + \frac{a_2}{m} \left(\frac{\vartheta_2}{p + 2\delta} + \frac{A_2 p + B_2}{p^2 + \frac{b}{m} p + \frac{c}{m}} \right) + \frac{a_3}{m} \left(\frac{A_3 p + B_3}{p^2 + \frac{b}{m} p + \frac{c}{m}} + \frac{C_1 p + D_1}{(p + \delta)^2 + \omega^2} \right) + \frac{a_4}{m} \left(\frac{A_4 p + B_4}{p^2 + \frac{b}{m} p + \frac{c}{m}} + \frac{C_2 p + D_2}{(p + \delta)^2 + \omega^2} \right) + \frac{a_5}{m} \left(\frac{A_5 p + B_5}{p^2 + \frac{b}{m} p + \frac{c}{m}} + \frac{C_3 p + D_3}{(p + \delta)^2 + 4\omega^2} \right) + \frac{a_6}{m} \left(\frac{A_6 p + B_6}{p^2 + \frac{b}{m} p + \frac{c}{m}} + \frac{C_4 p + D_4}{(p + \delta)^2 + 4\omega^2} \right), \quad (23)$$

где a_k , $k = \overline{1, 6}$, — величины, стоящие в (22) перед соответствующими составляющими. Не загромождая статью простыми вычислениями коэффициентов A_k , B_k , $k = \overline{1, 6}$; C_l , D_l , $l = \overline{1, 4}$, из (23), по таблицам [5] находим оригинал $x_{\delta}(t)$, соответствующий изображению (23) в виде

$$x_{\delta}(t) = \frac{a_1 \vartheta_1}{m\delta} (1 - e^{-\delta t}) + \frac{a_2 \vartheta_2}{2m\delta} (1 - e^{-2\delta t}) + \frac{1}{c} \sum_{l=1}^6 a_l A_l + \frac{a_2 D_1 + a_4 D_2}{m(\delta^2 + \omega^2)} + \frac{a_5 D_3 + a_6 D_4}{m(\delta^2 + 4\omega^2)} + e^{-\frac{b}{2m} t} \sin \omega_0 t \left(\frac{1}{m\omega_0} \sum_{l=1}^6 a_l A_l - \frac{b}{2mc_0} \sum_{l=1}^6 a_l A_l - \frac{1}{c} e^{-\frac{b}{2m} t} \left(\sum_{l=1}^6 a_l A_l \right) \cos \omega_0 t - \frac{1}{\omega m} e^{-\delta t} (\sin \omega t) \left[\frac{1}{m} (a_3 c_1 + a_4 c_2) + \frac{\delta (a_3 D_1 + a_4 D_2)}{\delta^2 + \omega^2} \right] + \frac{1}{2\omega m} e^{-\delta t} \sin 2\omega t \left[a_5 c_3 + a_6 c_4 - \frac{\delta (a_5 D_3 + a_6 D_4)}{\delta^2 + 4\omega^2} \right] - \frac{a_3 D_1 + a_4 D_2}{m(\delta^2 + \omega^2)} e^{-\delta t} \cos \omega t - \frac{a_5 D_3 + a_6 D_4}{m(\delta^2 + 4\omega^2)} e^{-\delta t} \cos 2\omega t. \quad (24)$$

В $x_{\delta}(t)$ также имеется постоянная составляющая

$$x_{\delta 0} = \frac{1}{c} \sum_{l=1}^6 a_l A_l + \frac{a_3 D_1 + a_4 D_2}{m(\delta^2 + \omega^2)} + \frac{a_5 D_3 + a_6 D_4}{m(\delta^2 + 4\omega^2)},$$

которая должна быть учтена в виде $\delta_0 > x_0 + x_{\delta 0} + x_{a\Sigma}$. Остальные составляющие в (24) затухают с коэффициентами затухания δ , $b/(2m)$.

Таким образом, найдены x_0 , $x_{\delta 0}$, $x_{\delta}(t)$ и $x_{\Sigma}(t)$, которые в сумме формируют колебания якоря в ЭМВУВ при входном воздействии в виде периодических полусинусоидальных импульсов. В колебаниях якоря из-за нелинейности магнитной части появились гармоники с дополнительными частотами 3ω и 4ω .

1. *Вибрации* в технике: В 6-ти т. / Под ред. Э.Э. Лавендела. – Москва: Машиностроение, 1981. – Т. 4. – 510 с.
2. *Испытательная техника*: Справочник. В 2-х кн. / Под ред. В.В. Клюева. – Москва: Машиностроение, 1982. – Кн. 1. – 528 с.
3. *Божко А. Е.* Аргументированная детализация новой концепции о переходных процессах в электроцепях // Доп. НАН України. – 2007. – № 6. – С. 81–87.
4. *Божко А. Е.* О сингулярном разложении скачкообразной функции // Там само. – 2008. – № 2. – С. 42–47.
5. *Гинзбург С. Г.* Методы решения задач по переходным процессам в электрических цепях. – Москва: Сов. радио, 1959. – 404 с.
6. *Ступель Ф. А.* Электромеханические реле. – Харьков: Изд-во Харьков. гос. ун-та, 1956. – 355 с.
7. *Бессонов Л. А.* Теоретические основы электротехники. – Москва: Высш. шк., 1978. – 528 с.
8. *Божко А. Е., Голуб Н. М.* Динамико-энергетические связи колебательных систем. – Киев: Наук. думка, 1980. – 188 с.

*Институт проблем машиностроения
им. А.Н. Подгорного НАН Украины, Харьков*

Поступило в редакцию 24.06.2008

Corresponding Member of the NAS of Ukraine **A. E. Bozhko**

On the determination of rotor oscillations in an electromagnetic vibroimpact exciter under the action of input periodic half-sinusoidal pulses

Rotor oscillations of an electromagnetic vibroimpact exciter under the action of input pulses represented in the form of Fourier-combined singularisnal expansion are determined.